

УДК 541.128

## ТЕРМОДИНАМИЧЕСКОЕ И КВАНТОВО-ХИМИЧЕСКОЕ ИССЛЕДОВАНИЕ РЕАКЦИИ ОКИСЛИТЕЛЬНОГО ДЕГИДРИРОВАНИЯ ЭТАНА В ЭТИЛЕН

© 2015 г. И. М. Герзелиев, А. М. Гюльмалиев, А. Ю. Попов, С. Н. Хаджиев

Институт нефтехимического синтеза им. А. В. Топчева РАН, Москва

E-mail: gerzeliev@ips.ac.ru

Поступила в редакцию 24.10.2014 г.

Методами химической термодинамики проведен расчет равновесного состава продуктов реакции дегидрирования этана в этилен при разных количествах кислорода, подаваемых в реакционную среду. На примере квантово-химических расчетов энергии взаимодействия этана с диоксидом молибдена показано, что на энергетическом профиле потенциальной поверхности энергии вдоль координаты реакции дегидрирования этана абсолютному минимуму энергии соответствует комплекс  $\text{MoO}_2 \cdots \text{H}_2 \cdots \text{C}_2\text{H}_4$ .

**Ключевые слова:** этан, этилен, окислительное дегидрирование, термодинамика, квантово-химические расчеты.

**DOI:** 10.7868/S0028242115020094

В настоящее время в промышленности основное количество этилена получают методом пиролиза в трубчатых печах углеводородного сырья (этана, этан-пропан-бутановой смеси или фракции прямогонного бензина). Выход олефинов (этилен + пропилен) составляет 60–66%. Развитие процесса направлено в основном в сторону усовершенствования существующей технологии. Однако, несмотря на достигнутый прогресс, связанный с конструктивными изменениями расположения труб змеевика печи, разработкой эффективных за-калоочно-испарительных аппаратов, внедрения печей с коротким временем пребывания сырья в реакционной зоне, возможности этого процесса ограничены, особенно при использовании сырья, склонного к повышенному коксообразованию [1]. Необходимость расширения сырьевой базы, в частности вовлечение в переработку компонентов природного, попутного и нефтезаводского газов, требует вести поиск принципиально новых методов осуществления процесса.

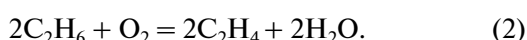
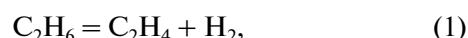
Так, с середины прошлого столетия проводятся интенсивные исследования по разработке процессов каталитического дегидрирования низших алканов в соответствующие олефины. Применение катализатора позволяет увеличить степень превращения сырья по сравнению с традиционным пиролизом, повысить селективность процесса. Однако с точки зрения практического применения этот метод дегидрирования также не лишен недостатков, связанных, в частности, с интенсивным кок-

сообразованием и необходимостью проведения окислительной регенерации.

Указанные недостатки устраняются при использовании в процессе окислителя. Применение окислителя при дегидрировании низших алканов имеет ряд потенциальных преимуществ: повышает производительность процесса пиролиза; позволяет обойти ограничения, накладываемые термодинамикой на состав продуктов и проводить процесс при более низких температурах за счет экзотермических реакций окисления непосредственно в зоне реакции; увеличивает время полезной работы катализатора в связи с возможным выгоранием кокса в процессе реакции [2, 3].

С учетом перспективности данного направления нами проведены сравнительные термодинамические расчеты равновесного состава продуктов термического и окислительного дегидрирования этана и квантово-химических расчетов энергии активации дегидрирования этана на активной металлической фазе катализатора – оксиде молибдена  $\text{MoO}_2$ .

Расчет равновесных концентраций компонентов реакции проводили в приближении к состоянию идеального газа [4, 5]. В табл. 1 приведены значения термодинамических функций: энталпии  $\Delta H$ , энтропии  $\Delta S$  и свободной энергии Гиббса  $\Delta G$  двух простых реакций:



Приведенные реакции интересны тем, что в реакции (1) в продуктах образуется водород, а в (2) – вода. Естественно, что с точки зрения получения чистого этилена вторая реакция предпочтительна.

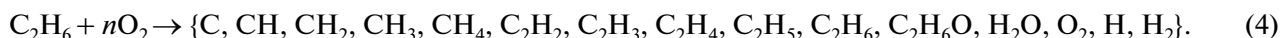
Как видно из табл. 1, по термодинамическим характеристикам эти реакции существенно отличаются. Значения энталпии  $\Delta H$  от температуры мало зависят, реакция (1) сильно эндотермична, а реакция (2) – экзотермична. Энергии Гиббса  $\Delta G$  реакций существенно зависят от температуры. Реакция (1) благоприятно протекает при  $T \geq 500^\circ\text{C}$ , а реакция (2) при любых температурах в рассмотренном температурном интервале. Тепловой эффект реакции (2) может быть использован для компенсации затрат энергии нагрева реакционной

среды. Анализ данных табл. 1 показывает, что реакция окислительной термодеструкции этана как по энергетическим характеристикам, так и по чистоте продуктов более предпочтительна, чем реакция прямой деструкции.

В реальности реакция дегидрирования этана сопровождается многими параллельными и последовательными процессами, что может существенно влиять на равновесный состав и на выход этилена. При высоких температурах возможно образование радикальных соединений. Для ответа на эти вопросы исследовали температурные зависимости равновесных концентраций продуктов реакций термического разложения этана:



и окислительного дегидрирования:



Расчеты проводили при давлении 0.1 МПа и исходной концентрации этана, равной 1 моль, концентрацию кислорода ( $n$ ) варьировали. Результаты расчета приведены на рис. 1. Как следует из расчетных данных в этих условиях без подачи кислорода (рис. 1а) максимальный выход этилена наблюдается в области температур 450–500°C и составляет ≈42 мас. %. В области температур 200–1000°C основным компонентом в продуктах является метан CH<sub>4</sub>, концентрация которого составляет ≈60 мас. %. На рис. 1б–1е приведены результаты расчетов равновесного состава продуктов реакции (4) при концентрациях кислорода (моль)  $n = 0.1, 0.2, 0.3, 0.4$  и  $0.5$  соответственно. Видно, что с ростом концентрации кислорода в реакционной среде до  $n = 0.5$  моль, выходы этилена и воды увеличиваются. С образованием воды реакция становится более экзотермичной и она идет в сторону образования этилена. При  $n = 0.5$  моль выход этилена максимальен и составляет 60 мас. %. Одновременно с ростом концентрации кислорода концентрация метана в равновесном составе снижается. Водород, в незначительных количествах, образуется при высоких температурах.

Особый интерес представляет исследование энергетических характеристик реакции (1). Для этого, по координате реакции рассмотрели состояния с экстремальными значениями энергий. Сюда входят две конформации этана: с минимальной энергией, когда атомы водорода наиболее удалены друг от друга (заторможенная конформация) и максимальной энергией, когда атомы водорода при разных атомах углерода наиболее приближены

друг к другу (заслоненная конформация), а также активированный комплекс переходного состояния. Расчет электронной структуры заторможенной, заслоненной конформаций этана и энергии переходного состояния реакции (1) проводили квантово-химическим методом DFT B3LYP6-31G(d,p), основанном на сочетании метода Хартри–Фока и теории функционала плотности [6]. На рис. 2 приведены их оптимизированные структуры, значения межатомных расстояний (Å) и хартри–фоковская электронная энергия с учетом энергии нулевых колебаний  $E_0$ .

В табл. 2 приведены их колебательные частоты в спектре инфракрасного поглощения.

Комплекс переходного состояния имеет одну единственную отрицательную частоту  $\omega = -809.258 \text{ cm}^{-1}$  с отличной от нуля интенсивностью, это означает, что состояние соответствует максимуму энергии на координате реакции.

На рис. 3 представлен энергетический профиль потенциальной поверхности энергии вдоль координаты реакции дегидрирования этана. Величина энергии активации реакции термического дегидрирования этана в этилен высокая и составляет  $E_\Sigma = 108.81 \text{ ккал/моль}$ .

Для эффективного проведения процесса окислительного дегидрирования этана решающее значение имеет выбор активной каталитической фазы катализатора. На основе теоретических предпосылок можно предположить, что если в реакционную среду подавать определенное количество кислорода, активная каталитическая фаза будет в форме оксида. Оксид, в свою очередь, должен быть спо-

**Таблица 1.** Температурная зависимость термодинамических функций реакций  $C_2H_6 = C_2H_4 + H_2$  и  $2C_2H_6 + O_2 = 2C_2H_4 + 2H_2O$

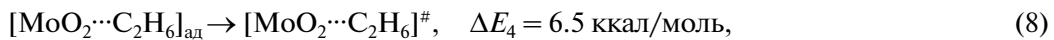
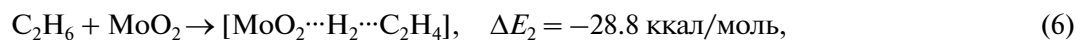
T, °C	$C_2H_6 = C_2H_4 + H_2$			$2C_2H_6 + O_2 = 2C_2H_4 + 2H_2O$		
	$\Delta H$ , ккал/моль	$\Delta S$ , кал/моль К	$\Delta G$ , ккал/моль	$\Delta H$ , ккал/моль	$\Delta S$ , кал/моль К	$\Delta G$ , ккал/моль
0	32.648	28.368	24.899	-50.183	35.912	-59.992
100	33.091	29.755	21.988	-49.768	37.216	-63.655
200	33.463	30.642	18.965	-49.474	37.920	-67.416
300	33.767	31.228	15.869	-49.297	38.264	-71.227
400	34.007	31.614	12.726	-49.230	38.373	-75.061
500	34.185	31.862	9.551	-49.265	38.326	-78.897
600	34.307	32.011	6.357	-49.387	38.179	-82.723
700	34.383	32.093	3.151	-49.572	37.978	-86.531
800	34.419	32.129	-0.060	-49.805	37.751	-90.318
900	34.421	32.131	-3.274	-50.071	37.514	-94.081
1000	34.394	32.109	-6.486	-50.360	37.278	-97.820

собен к образованию координационных связей, чтобы связывать атомы водорода и тем самым снижать энергию активации этана. Таким свойством может обладать, например, диоксид молибдена  $MoO_2$ .

В табл. 3 приведены значения суммарной электронной энергии и энергии нулевых колебаний

$E_{\text{эл}} + E_0$  молекул и их комплексов образующихся при взаимодействии этана с  $MoO_2$ .

По данным табл. 3 энергетический баланс  $\Delta E$  реакции образования комплексов следующий:



На рис. 4 приведен профиль потенциальной поверхности энергии вдоль координаты реакции взаимодействия этана с диоксидом молибдена, из которого следует, что при абсолютном минимуме энергии образуется устойчивый комплекс  $[MoO_2 \cdots H_2 \cdots C_2H_4]$ .

Энергия адсорбции этана на диокside молибдена  $E_1 = 23.8$  ккал/моль, энергия активации адсорбированного комплекса  $E_2 = 6.5$  ккал/моль, энергия устойчивого комплекса (при абсолютном минимуме энергии)  $E_3 = 28.8$  ккал/моль, энергия разложения устойчивого комплекса на конечные продукты ( $MoO_2 + C_2H_4 + H_2$ )  $E_4 = 63.3$  ккал/моль.

Структуры с оптимизированной геометрией, заряды на атомах и длины связей ( $\text{\AA}$ ) комплексов:  $[MoO_2 \cdots H_2]$ ,  $[MoO_2 \cdots H_2 \cdots C_2H_4]$  и  $[MoO_2 \cdots C_2H_6]^{\#}$  приведены на рис. 5.

В комплексе  $[MoO_2 \cdots H_2]$  длины связей Mo—O и Mo—H практически равны. В комплексе  $[MoO_2 \cdots H_2 \cdots C_2H_4]$  (рис. 5б) группа  $MoO_2 \cdots H_2$  проявляется как единая молекула, а структура  $C_2H_4$  близка к структуре изолированной молекулы этилена. Отметим, что разность энергий переходного состояния  $[MoO_2 + C_2H_6]^{\#}$  (рис. 5в) и устойчивого комплекса  $[MoO_2 \cdots H_2 \cdots C_2H_4]$  (5б) небольшая

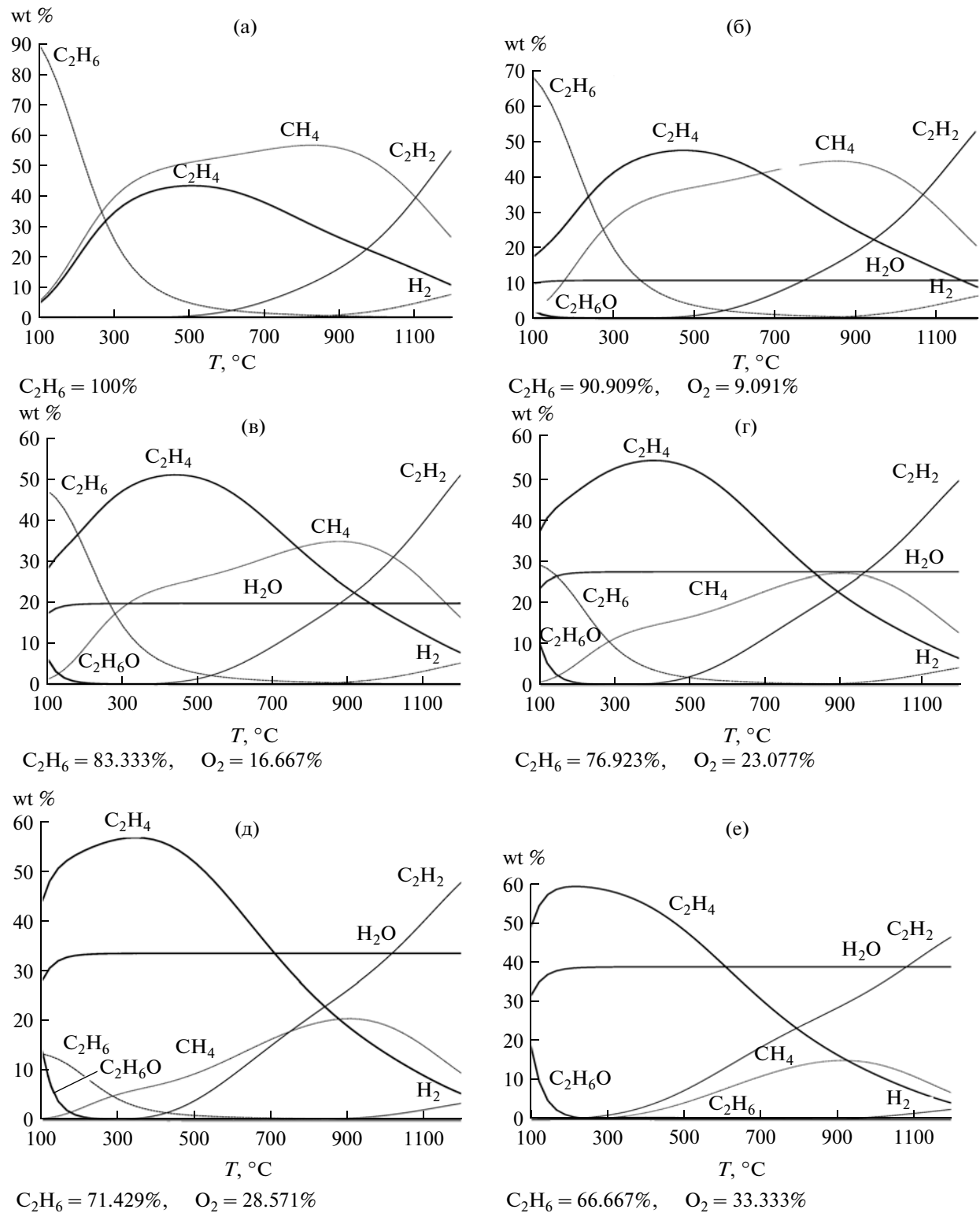
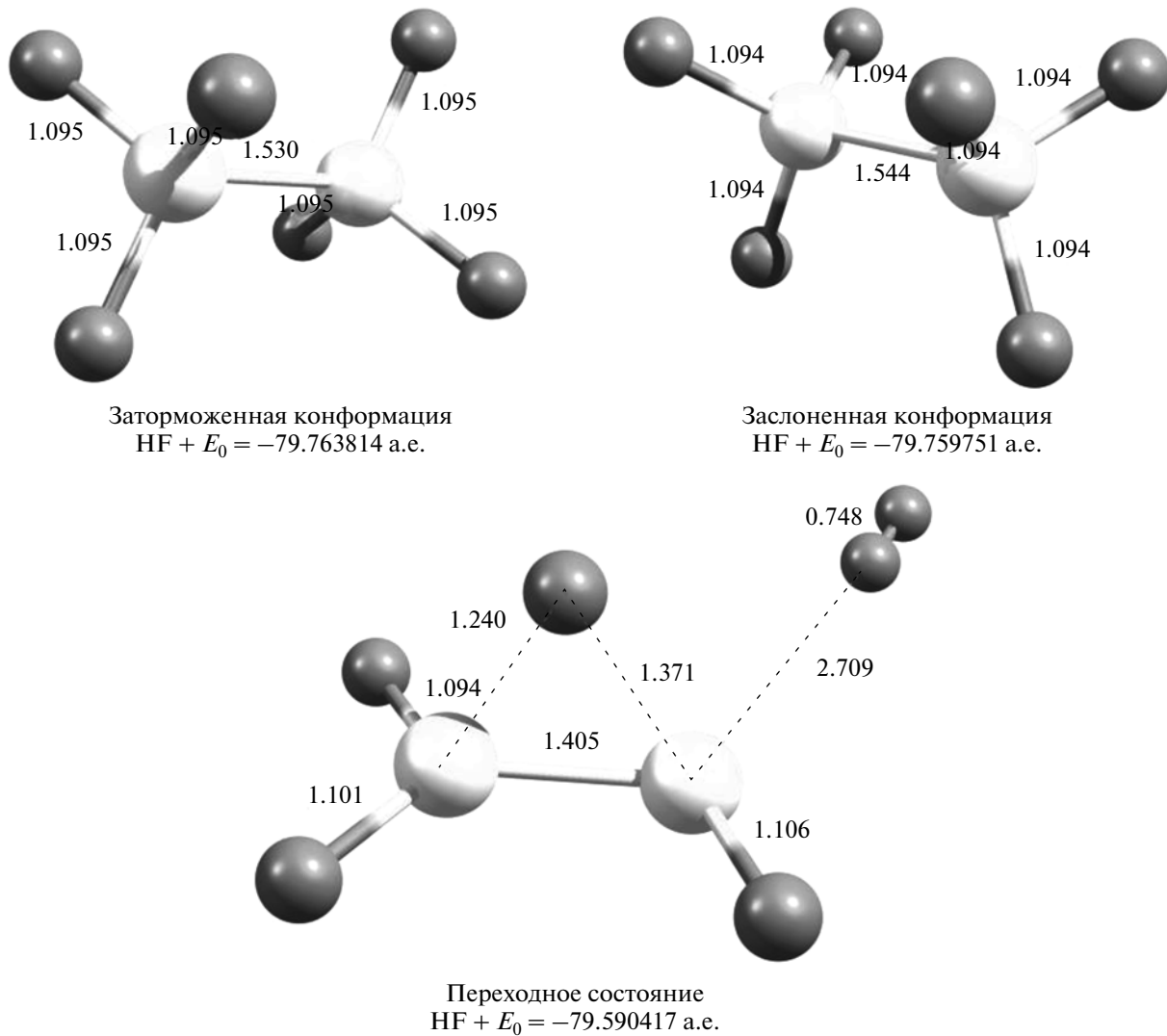
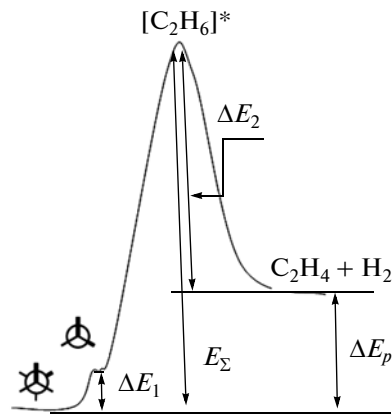


Рис. 1. Температурная зависимость равновесных концентраций продуктов реакции термодеструкции 1 моль этана, при различной концентрации кислорода в реакционной среде (моль):  $n = 0$  (а), 0.1 (б); 0.2 (в), 0.3 (г), 0.4 (д), 0.5 (е).



**Рис. 2.** Структуры с оптимизацией геометрии заторможенной заслоненной конформаций этана и комплекса переходного состояния.



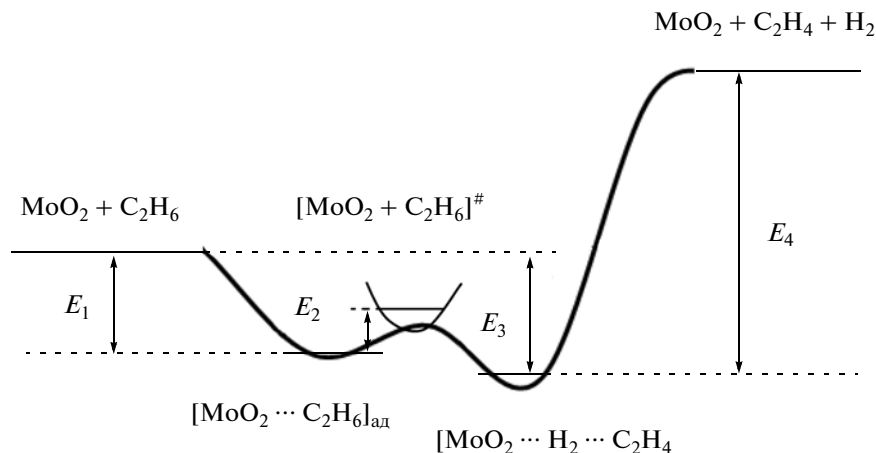
**Рис. 3.** Энергетический профиль потенциальной поверхности энергии вдоль координаты реакции дегидрирования этана (ккал/моль):  $\Delta E_1 = 2.55$ ;  $E_\Sigma = 108.81$ ;  $\Delta E_2 = 75.68$ ;  $\Delta E_p = 33.12$  (32.74) ккал/моль.

**Таблица 2.** Частоты колебаний и интенсивности заторможенной, заслоненной конформаций и комплекса переходного состояния этана

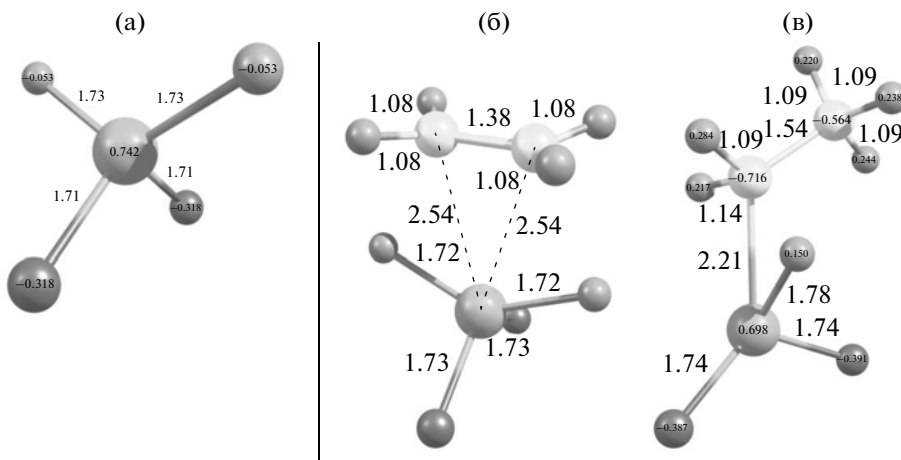
Заторможенная конформация		Заслоненная конформация		Переходное состояние	
частота колебания, см <sup>-1</sup>	интенсивность, км/моль	частота колебания, см <sup>-1</sup>	интенсивность, км/моль	частота колебания, см <sup>-1</sup>	интенсивность, км/моль
313.6165	0	-304.544	0	-809.258	14.3268
827.8069	4.6361	902.9162	4.3078	39.905	3.2002
827.8071	4.6347	903.3375	4.3028	62.0359	19.2855
1005.652	0	1001.538	0	204.7779	8.7
1225.956	0	1177.012	0	512.6964	2.0389
1225.959	0	1177.512	0	517.8326	1.6176
1418.189	0.1418	1416.616	0.0935	961.4495	21.8334
1440.561	0	1457.969	0.0001	1072.662	43.7279
1516.868	0.0001	1516.945	0.0001	1142.147	6.3494
1516.869	0.0001	1517.274	0	1274.535	15.3262
1521.536	6.8786	1525.577	8.1796	1283.22	9.3561
1521.538	6.8808	1526.095	8.1832	1386.527	18.5486
3042.498	0	3052.086	60.1492	1553.026	5.7883
3043.633	57.6786	3058.694	0.0008	2262.353	13.0528
3097.877	0	3108.758	0.0001	2973.999	89.5135
3097.878	0	3109.1	0.0006	3008.628	70.4558
3121.787	70.5516	3129.552	59.3335	3113.835	27.3522
3121.789	70.5438	3129.849	59.323	4366.971	120.0511

**Таблица 3.** Энергия молекул и их комплексов: электронная ( $E_{\text{эл}}$ ), нулевых колебаний ( $E_0$ )

Молекулы	$E_{\text{эл}}$ , а.е.	$E_{\text{эл}} + E_0$ , а.е.	$E_0$ , ккал/моль
MoO <sub>2</sub>	-4108.6275804	-4108.622347	3.28375
C <sub>2</sub> H <sub>6</sub>	-79.4006389	-79.324806	47.58606
C <sub>2</sub> H <sub>4</sub>	-78.1610489	-78.109394	32.41420
H <sub>2</sub>	-1.170611	-1.160425	6.39173
Комpleксы			
[MoO <sub>2</sub> ···H <sub>2</sub> ]	-4109.8727516	-4109.853052	12.36191
[MoO <sub>2</sub> ···C <sub>2</sub> H <sub>6</sub> ] <sub>ад</sub>	-4188.0660874	-4187.985021	50.86962
[MoO <sub>2</sub> ···C <sub>2</sub> H <sub>6</sub> ] <sup>#</sup>	-4188.0516279	-4187.974648	48.30551
[MoO <sub>2</sub> ···H <sub>2</sub> ···C <sub>2</sub> H <sub>4</sub> ]	-4188.0684051	-4187.992999	47.31816



**Рис. 4.** Профиль потенциальной поверхности энергии вдоль координаты реакции взаимодействия этана с диоксидом молибдена (ккал/моль).



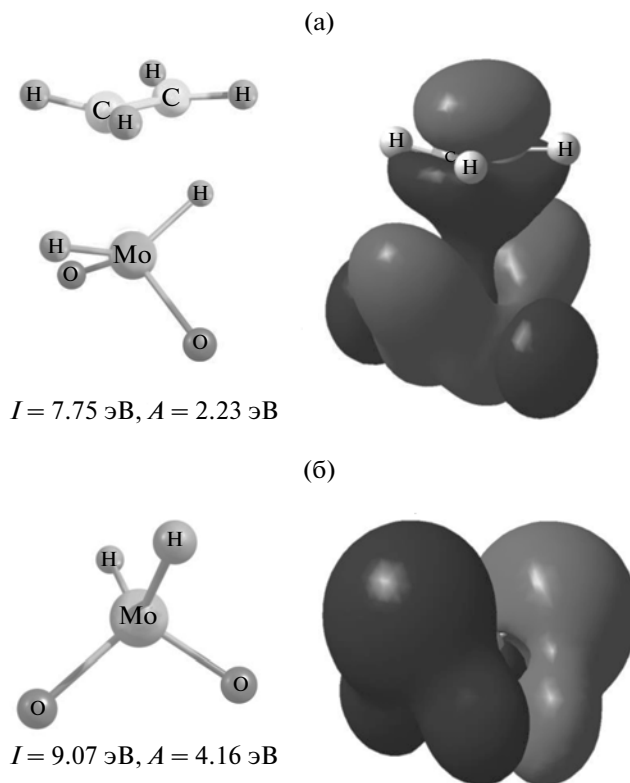
**Рис. 5.** Оптимизированные геометрии комплексов, заряды на атомах и длины связей ( $\text{\AA}$ ):  
а –  $[\text{MoO}_2 \cdots \text{H}_2]$ , б –  $[\text{MoO}_2 \cdots \text{H}_2 \cdots \text{C}_2\text{H}_4]$  и в –  $[\text{MoO}_2 \cdots \text{C}_2\text{H}_6]^{\#}$ .

(11.5 ккал/моль), однако, как видно из рис. 5, структуры у них отличаются сильно.

На рис. 6 приведены изображения плотности верхних занятых молекулярных орбиталей устойчивых комплексов  $[\text{MoO}_2 \cdots \text{H}_2 \cdots \text{C}_2\text{H}_4]$  и  $[\text{MoO}_2 \cdots \text{H}_2]$ , а так же значения их потенциалов ионизации и сродство к электрону (по теореме Купманса). Видно, что как по характеру распределения плотности верхней занятой орбитали на атомах и на связях, так и по числовым значениям, их орбитальне энергии (потенциалы ионизации по теореме Купманса) существенно отличаются. Эти разности означают, что в комплексе этилен еще находится во взаимодействии с  $[\text{MoO}_2 \cdots \text{H}_2]$ .

Таким образом, на основе проведенных теоретических исследований можно сделать следующие

выводы. Реакция дегидрирования этана с окислителем имеет большее преимущество, чем без окислителя: протекает эффективно, с выделением большого количества тепла при относительно низких температурах, а водород связывается в виде  $\text{H}_2\text{O}$ ; этан имеет высокую энергию активации дегидрирования ( $E_a = 108.81$  ккал/моль), поэтому реакцию образования этилена необходимо проводить в присутствии катализаторов, которые стабильны в окислительной среде и способны связывать водород с образованием устойчивых комплексов; по теоретическим оценкам диоксид молибдена и идентичные ему по свойствам соединения могут быть эффективными катализаторами в процессе окислительной дегидрирования этана в этилен.



**Рис. 6.** Потенциалы ионизации, сродство к электрону (по теореме Купманса) и изображения верхних занятых молекулярных орбиталей устойчивых комплексов: а –  $[\text{MoO}_2\cdots\text{H}_2\cdots\text{C}_2\text{H}_4]$  и б –  $[\text{MoO}_2\cdots\text{H}_2]$ .

Работа проведена при финансовой поддержке Министерства образования и науки Российской Федерации (Соглашение № 14.607.21.0054, уникальный идентификатор прикладных научных исследований RFMEFI60714X0054).

#### СПИСОК ЛИТЕРАТУРЫ

1. Мухина Т.Н., Баранов Н.Л., Бабаш С.Е. и др. Пиролиз углеводородного сырья. М: Химия, 1987. 240 с.
2. Арутюнов В.С., Магомедов Р.Н. // Успехи химии. 2012. Т. 81. № 9. С. 790.
3. Кустов Л.М., Кучеров А.В., Финашина Е.Д. // Журн. физ. химии. 2013. Т. 87. № 3. С. 357.
4. Стамм Д., Вестрам Э., Зинке Г. Химическая термодинамика органических соединений. М.: Мир, 1971. С. 807.
5. HSC Chemistry 6. <http://www.hscchemistry.net/>.
6. Becke A.D. // J. Chem. Phys. 1993. V. 98. № 2. P. 1372.